

2021. április 26.

Jelentősen csökkent a járvány erőssége a CRCB által számított *J* mutató szerint 2021. április 19. és április 25. között

A koronavírus járvány lefutásának előrejelzése a szennyvizek elemzése alapján

A 16. héten (április 19. és április 25. között) a CRCB által - a [Nemzeti Népegészségügyi Központ \(NNK\) által közölt, a vírus örökítő anyagának szennyvízben mért koncentrációjára vonatkozó információk alapján](#) (*) - számított *J* mutató értéke¹ jelentős mértékben csökkent és elérte, illetve megközelítette a harmadi hullám kiinduló értékének szintjét². Lásd az 1. ábrát. Ezzel együtt mindkét mutató magasabb, mint a második hullám előtti nyári szint: a 30. héten (2020. július 20-26.) mért megfelelő érték 110 és 124 százaléka.

A *J* mutató alacsony szórása azt jelzi, hogy a csökkenő tendencia egységes, szinte minden megfigyelési pontban (18 városban és Budapest három pontján) érvényesül (lásd a 2. ábrát).

A járvány halálos áldozatainak száma az előző hétnél erősebben csökkent (lásd a 3. ábrát). Eközben a halálos áldozatok számának hét napos mozgóátlaga a halálos áldozatok számának csökkenő tendenciáját jelzi (lásd a 4. ábrát).

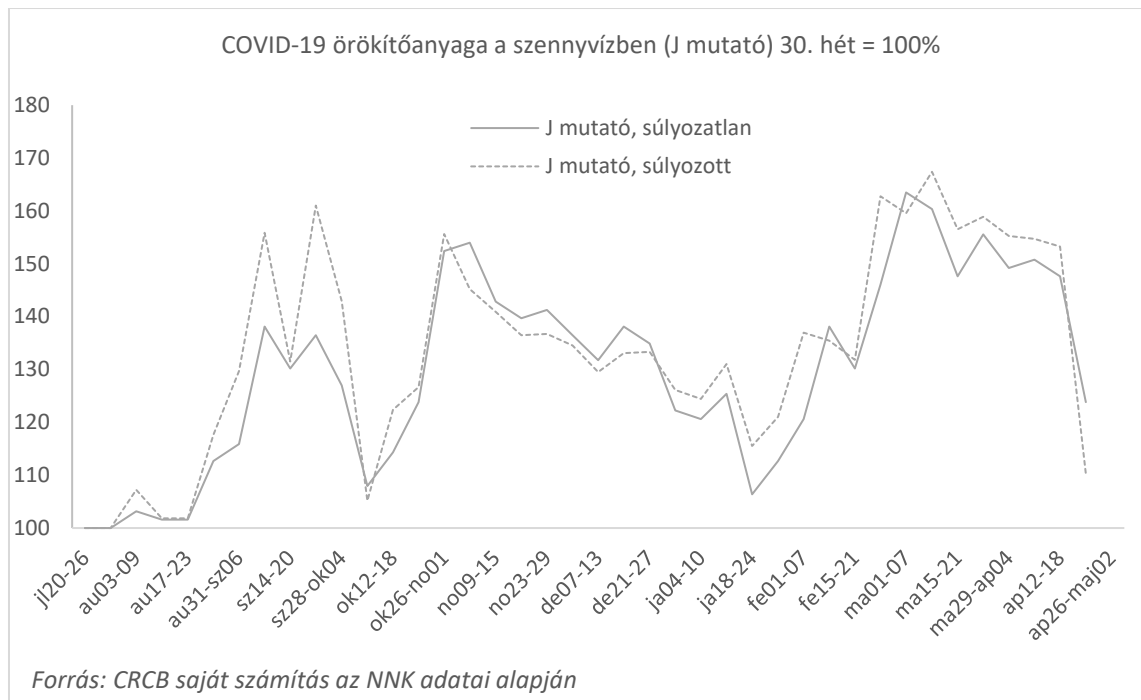
A *J* mutató jól jelzi az NNK eredeti, de a magyar lakosság számára nem elérhető, nyilvánosságra nem hozott adatait (lásd [itt](#) és az 6a-c ábrákat).

Az elemzés adatait lásd [itt](#).

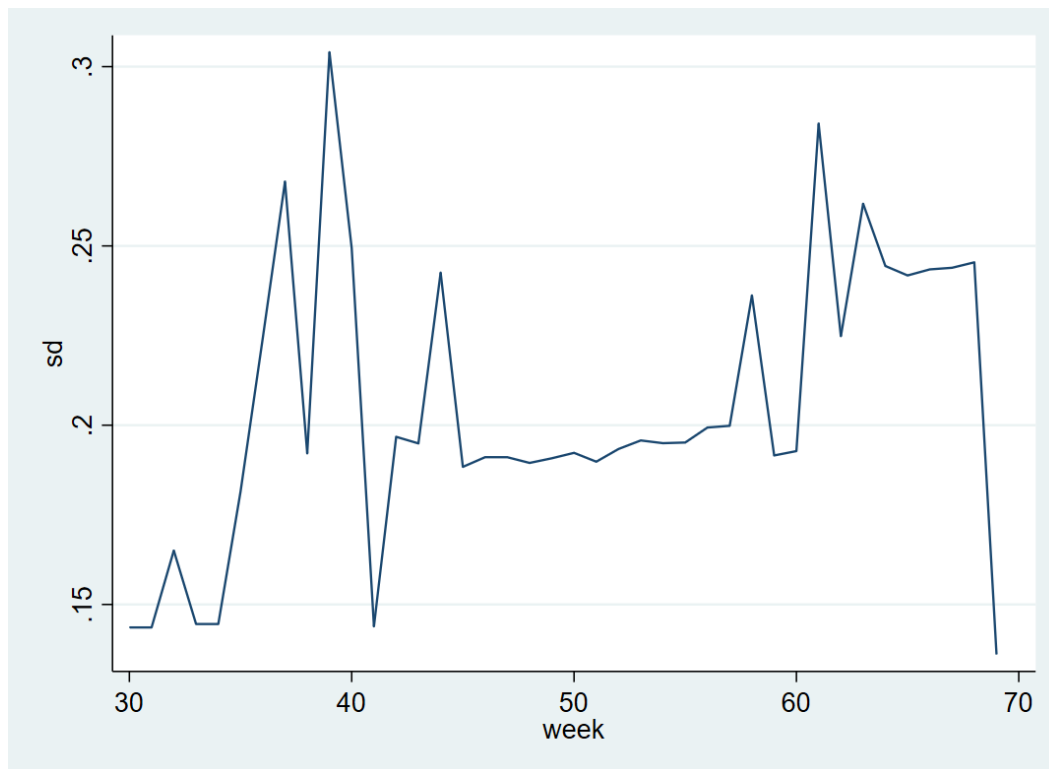
¹ A *J* mutató számítási módszerének leírását lásd [itt](#), a súlyozás leírását [itt](#).

² Az NNK honlapján az 52. hét adatai nyilvánvalóan hibás dátummal szerepelnek, mivel a honlap azt írja, hogy az adatok megjelentetésére 2020. december 21-én, módosítására december 26-án került sor. Ugyanezt a hibát követi el a honlap az 53. heti adatok közzétételénél is. A honlap szerint az 53. heti (december 28 - január 3 közötti hét) adatok megjelenésének dátuma 2020. december 21. volt, ami nyilvánvaló képtelenség. Az NNK a 49. héten valamilyen oknál fogva nem közölt Pécsről adatokat. Korábban 22 héten át közölt ilyen adatokat is. A 49. heti adatokhoz ezért a 48. heti pécsi adatokat illesztettük. Az 50. hétre vonatkozóan az NNK újra közölt pécsi adatot is. Továbbá, az NNK az 53. hétre nem közölt sem kecskeméti, sem szegedi adatokat. Ezeknél a 52. heti adatokat vettük figyelembe az 53. hétnél is. A 6. héten az NNK nem közölt kaposvári adatokat, ezért itt az 5. heti kaposvári adatokkal számoltunk. A 14. héten az NNK nem közölt debreceni adatokat. Ezért ezeket az előző hét adataival helyettesítettük.

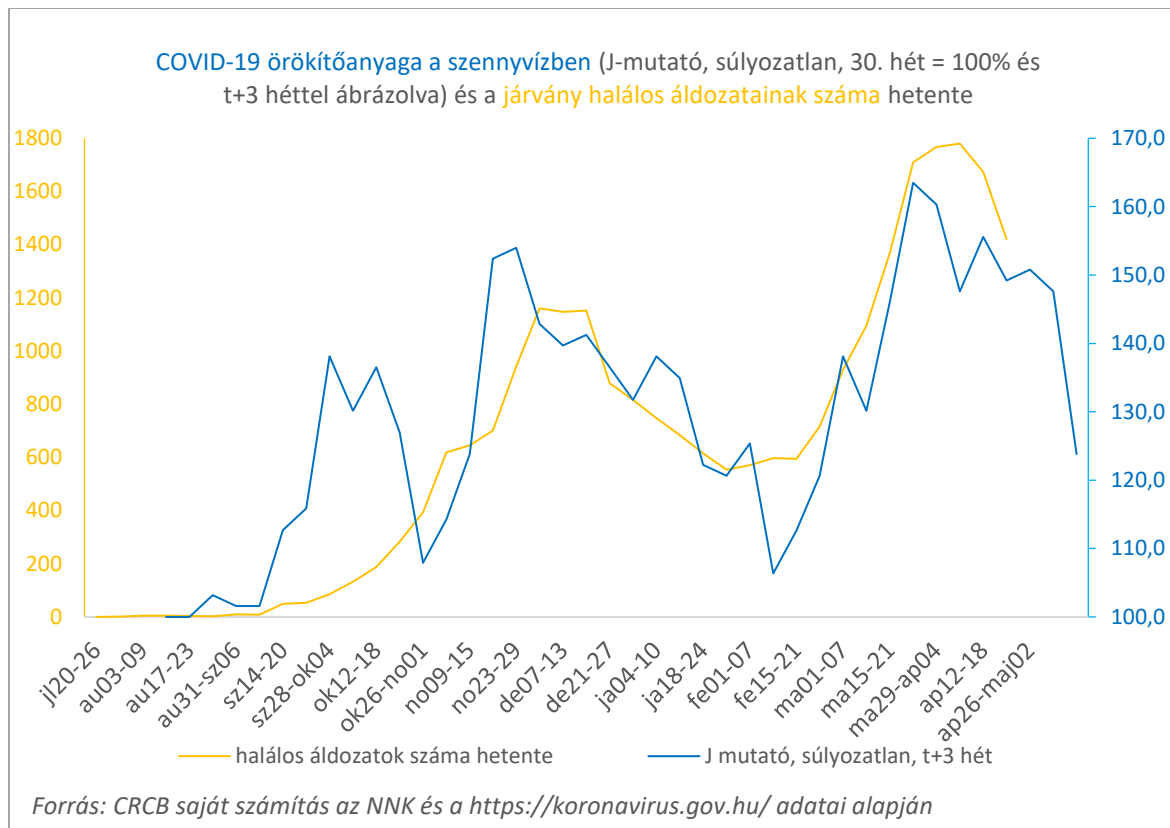
1. ábra: A J mutató alakulása (30. hét = 100%), 2020. július 22. – 2021. április 18.



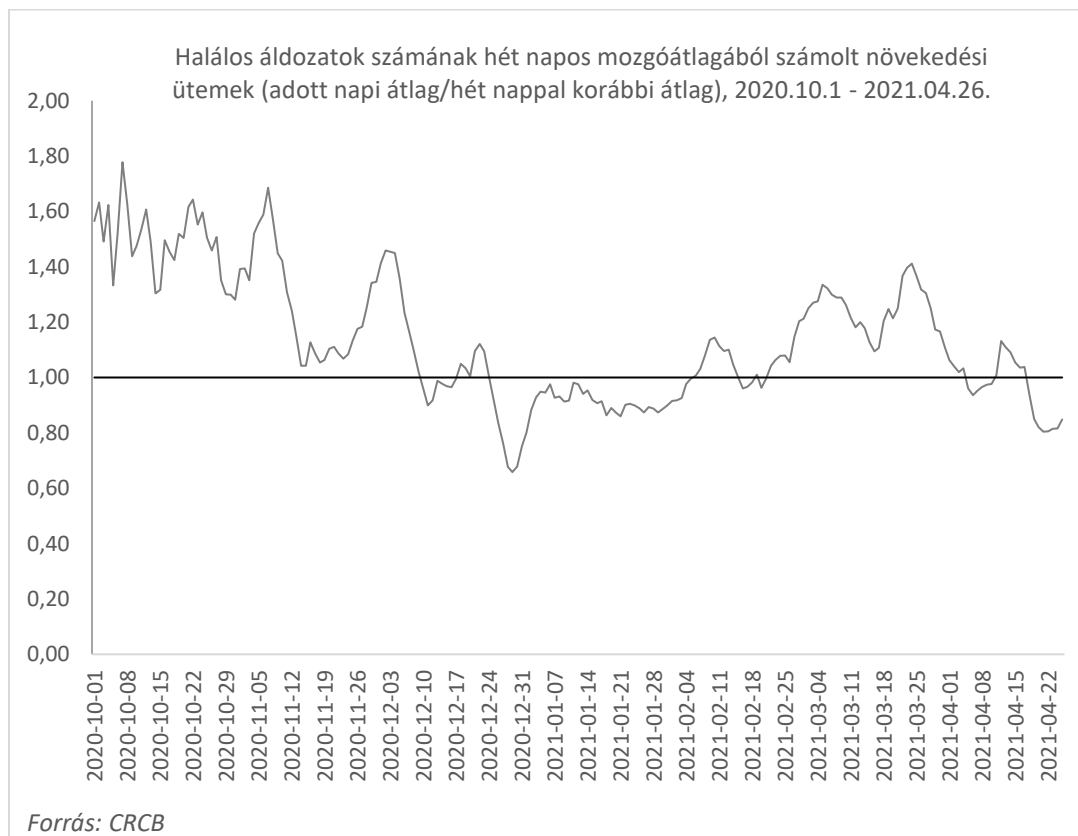
2. ábra: A J mutató szórásának alakulása



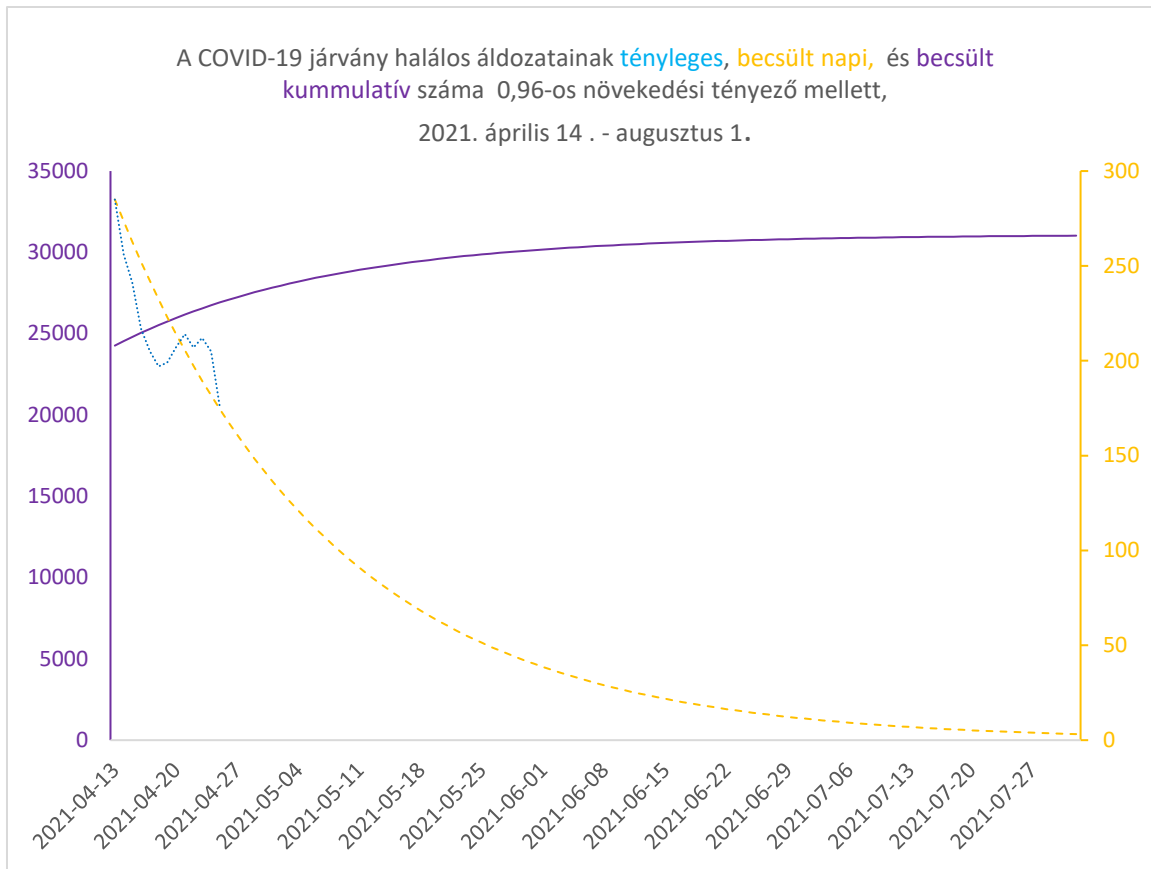
3. ábra: A J mutató és a járvány halálos áldozatainak száma hetente



4. ábra: A halálos áldozatok számának hét napos mozgóátlagából számolt növekedési ütemek (adott napi átlag/hét nappal korábbi átlag), 2020.10.1 - 2021.04.26.

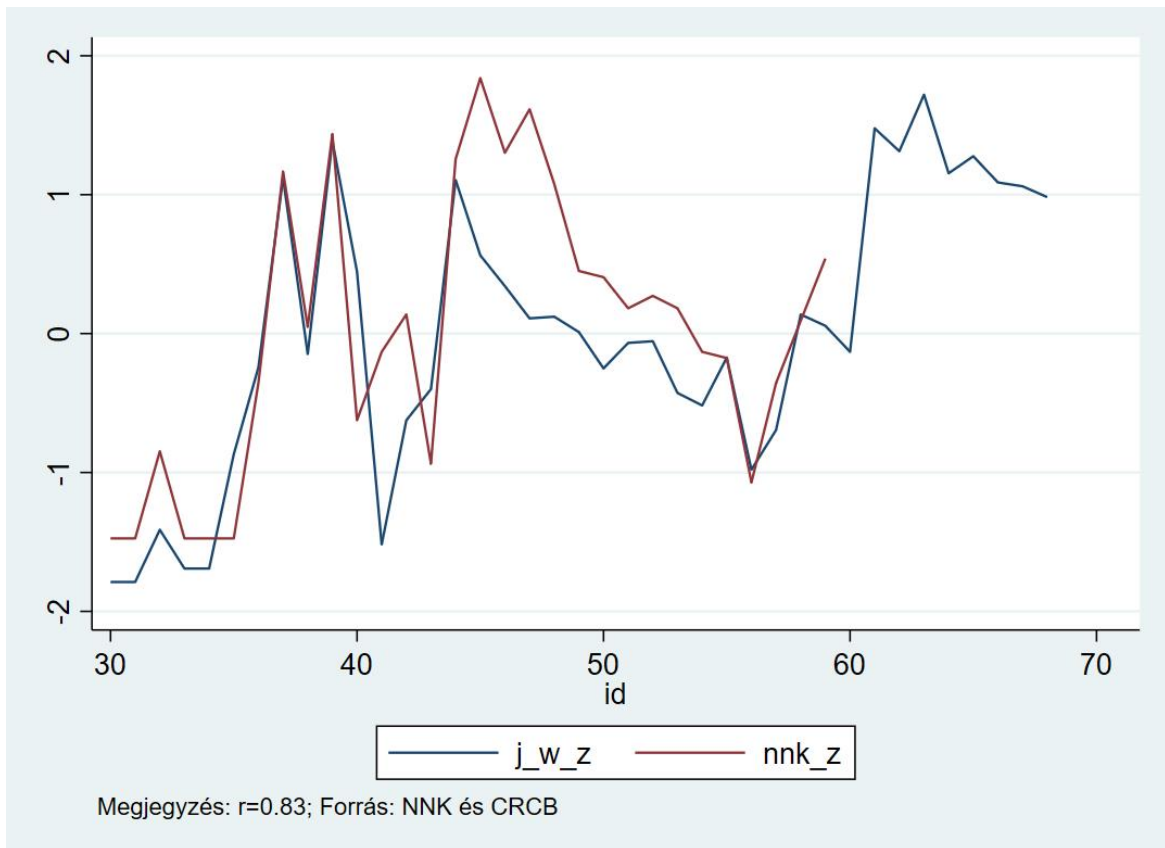


5. ábra: A halálos áldozatok becsült száma 2021 augusztus 1-ig, 0,96-os napi növekedési ütem mellett

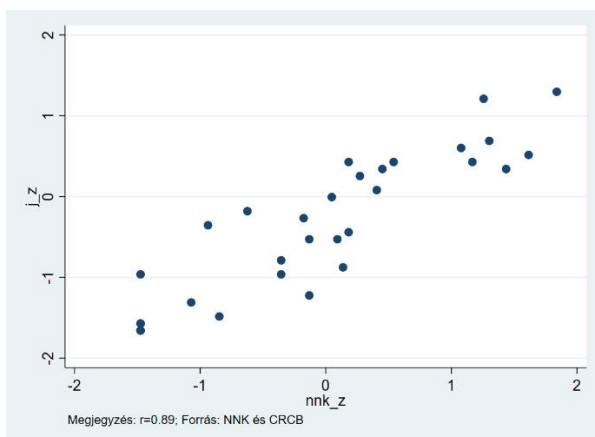


6a-c: Az NNK aggregált adatai (nnk_z) és a CRCB J indikátorának súlyozott adatai (j_w_z) közötti összefüggések, 2020. július 20. – 2021. április 18.

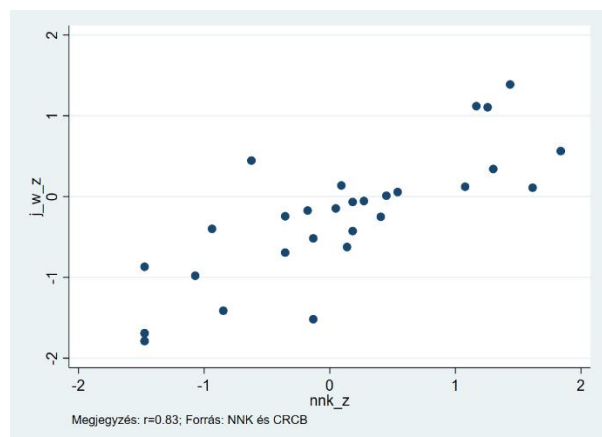
6a: A két idősor, z értékek, 30: 2020. július 20-26; 58: 2021. április 12-18.



6b. Az NNK idősorának (nnk_z) és a CRCB idősorának (j_z) értékei, pontdiagram, súlyozatlan adatok



6c: Az NNK idősorának (nnk_z) és a CRCB idősorának (j_w_z) értékei, pontdiagram, súlyozott adatok



1. táblázat: A J mutató alakulása (30. hét = 100%), 2020 július 20. – 2021. április 25.

| A hét sorszáma | dátum | J mutató súlyozatlan (30. hét = 100%) | J mutató, súlyozott (30. hét = 100%) |
|----------------|-----------|---------------------------------------|--------------------------------------|
| 30. | jl20-26 | 100,0 | 100,0 |
| 31. | jl27-au02 | 100,0 | 100,0 |
| 32. | au03-09 | 103,2 | 107,2 |
| 33. | au10-16 | 101,6 | 101,9 |
| 34. | au17-23 | 101,6 | 101,9 |
| 35. | au24-30 | 112,7 | 117,7 |
| 36. | au31-sz06 | 115,9 | 129,7 |
| 37. | sz07-13 | 138,1 | 155,9 |
| 38. | sz14-20 | 130,2 | 131,5 |
| 39. | sz21-27 | 136,5 | 161,0 |
| 40. | sz28-ok04 | 127,0 | 142,9 |
| 41. | ok05-11 | 107,9 | 105,2 |
| 42. | ok12-18 | 114,3 | 122,4 |
| 43. | ok19-25 | 123,8 | 126,7 |
| 44. | ok26-no01 | 152,4 | 155,6 |
| 45. | no02-08 | 154,0 | 145,2 |
| 46. | no09-15 | 142,9 | 140,9 |
| 47. | no16-22 | 139,7 | 136,5 |
| 48. | no23-29 | 141,3 | 136,7 |
| 49. | no30-de06 | 136,5 | 134,6 |
| 50. | de07-13 | 131,7 | 129,5 |
| 51. | de14-20 | 138,1 | 133,1 |
| 52. | de21-27 | 134,9 | 133,3 |
| 53. | de28-ja03 | 122,2 | 126,1 |
| 1. | ja04-10 | 120,6 | 124,4 |
| 2. | ja11-17 | 125,4 | 131,0 |
| 3. | ja18-24 | 106,3 | 115,5 |
| 4. | ja25-31 | 112,7 | 121,0 |
| 5. | fe01-07 | 120,6 | 137,0 |
| 6. | fe08-14 | 138,1 | 135,4 |
| 7. | fe15-21 | 130,2 | 131,8 |
| 8. | fe22-28 | 146,0 | 162,7 |
| 9. | ma01-07 | 163,5 | 159,6 |
| 10. | ma08-14 | 160,3 | 167,4 |
| 11. | ma15-21 | 147,6 | 156,5 |
| 12. | ma22-28 | 155,6 | 158,9 |
| 13. | ma29-ap04 | 149,2 | 155,3 |
| 14. | ap05-11 | 150,8 | 154,7 |
| 15. | ap12-18 | 147,6 | 153,2 |
| 16. | ap19-25 | 123,8 | 110,3 |